



NetWorks Sp. z o.o.  
Laboratorium Badań Środowiskowych  
ul. Józefa Piusa Dziekońskiego 3  
00-728 Warszawa  
e-mail: [Laboratorium@networks.pl](mailto:Laboratorium@networks.pl)



AB 419

S P R A W O Z D A N I E 1746/2025/OS  
Z POMIARÓW PÓL ELEKTROMAGNETYCZNYCH  
WYKONANYCH DLA POTRZEB OCHRONY ŚRODOWISKA

Badany obiekt: Instalacja radiokomunikacyjna Orange Polska S.A.  
Numer i nazwa: 4586 (43542N!) NIDA (GEC\_RUCIANENI\_NIDA)  
Adres: RUCIANE-NIDA DZ.244, Powiat piski, WOJ. WARMIŃSKO-MAZURSKIE

Data wykonania pomiarów: 2025-05-07

Sprawozdanie z badań bez pisemnej zgody laboratorium nie może być powielane inaczej niż w całości.  
Wynik przedstawione w niniejszym sprawozdaniu odnoszą się wyłącznie do badanego obiektu i do warunków i konfiguracji urządzeń w dniu wykonywania pomiarów.

**1. Właściciel badanego obiektu:**

Orange Polska S.A., Al. Jerozolimskie 160, 02-326 Warszawa

**2. Zleceniodawca:**

Orange Polska S.A., Al. Jerozolimskie 160, 02-326 Warszawa

**3. Przedstawiciel zleceniodawcy:**

NetWorks Sp. z o.o.

**4. Zakres zlecenia:**

Wykonanie badania i opracowanie sprawozdania z pomiarów natężenia pola elektrycznego i pola magnetycznego dla instalacji radiokomunikacyjnej Orange Polska S.A. zlokalizowanej w miejscowości RUCIANE-NIDA DZ.244.

**5. Cel zlecenia:**

Wykonanie pomiarów pól elektromagnetycznych w otoczeniu instalacji radiokomunikacyjnej 4586 (43542N!) NIDA (GEC\_RUCIANENI\_NIDA) w odniesieniu do wymagań określonych w *Rozporządzeniu Ministra Klimatu z dnia 17 lutego 2020 r. w sprawie sposobów sprawdzania dotrzymania dopuszczalnych poziomów pól elektromagnetycznych w środowisku (Dz.U. 2022 poz. 2630)*.

**6. Pomiary zostały wykonane przez:**



**7. Informacje o źródłach pól elektromagnetycznych**

**7.1. Sposób identyfikacji badanych źródeł pól elektromagnetycznych**

Identyfikacji źródeł i parametrów technicznych dokonano na podstawie analizy dokumentacji dotyczącej zlecenia oraz obserwacji miejsca wykonywania badań.

**7.2. Opis miejsca zainstalowania anten i urządzeń technicznych. Opis obiektu badań i jego otoczenia**

Instalacja radiokomunikacyjna zlokalizowana jest na terenie ogrodzonym. Anteny zawieszono na wieży kratowej. Urządzenia sterujące oraz zasilające zainstalowano w kontenerze u podstawy wieży. Wokół instalacji znajdują się tereny przemysłowe.

Instalacja radiokomunikacyjna jest obiektem bezobsługowym. Okresowe stanowiska pracy związane są z prowadzonymi w zależności od potrzeb konserwacjami, przeglądami, strojeniem i naprawami.

### 7.3. Parametry techniczne źródła pola elektromagnetycznego

Dane przedstawiające maksymalne parametry pracy instalacji przekazane przez zlecniodawcę:

Parametry systemu nadawczo-odbiorczego:

Charakterystyka promieniowania		kierunkowa					
Rzeczywisty czas pracy [h/dobę]		24					
Warunki pracy		znamionowe					
Rodzaj wytwarzanego pola		stacjonarne					
Lp.	Częstotliwość lub zakresy częstotliwości pracy [MHz]	Typ/producent anteny	liczba anten	Azymut [°]	kąt pochylenia [°]	Wysokość środka elektrycznego anteny [m n.p.t.]	Równoważna moc promieniowana izotropowo (EIRP) [W]
1	3600	AQQQ NSN	1	60	4-10**	49	47886
2	800/900/1800/2100/2600	KRE1012486/1 Ericsson	1	60	2-12**/2-12**/2-10**/2-10**/2-10**	49	30591
3	3600	AQQQ NSN	1	190	4-10**	49	47886
4	800/900/1800/2100/2600	KRE1012486/1 Ericsson	1	190	2-12**/2-12**/2-10**/2-10**/2-10**	49	30591
5	3600	AQQQ NSN	1	300	4-10**	49	47886
6	800/900/1800/2100/2600	KRE1012486/1 Ericsson	1	300	2-12**/2-12**/2-10**/2-10**/2-10**	49	30591

\* wskazane wartości kąta pochylenia anten, zgodnie z informacją uzyskaną od zlecniodawcy, są wartościami stałymi

\*\* pomiary wykonano zgodnie z pkt 13., ppkt 2 załącznika do Rozporządzenia Ministra Klimatu z dnia 17 lutego 2020 r. (Dz. U. 2022, poz. 2630).

Parametry radiolinii:

Charakterystyka promieniowania				kierunkowa			
Rzeczywisty czas pracy [h/dobę]				24			
Warunki pracy				znamionowe			
Rodzaj wytwarzanego pola				stacjonarne			
Lp.	Linia radiowa			Antena			
	Typ/ Producent	Częstotliwość pracy [GHz]	Równoważna moc promieniowana izotropowo (EIRP) [W]	Typ/ producent	Średnica anteny [m]	Azymut [°]	Wysokość zainstalowania n.p.t [m]
1.	RTN XMC-5D 23G 28MHz XPIC/RTN 380AX DC 70/80GHz 250MHz Huawei	23/80	5637/6310	A23D80S06 Huawei	0.6	38	46
2.	RTN XMC-5D 23G 28MHz XPIC/RTN 380AX DC 70/80GHz 250MHz Huawei	23/80	5637/6310	A23D80S06 Huawei	0.6	184	46
3.	RTN 380AX DC 70/80GHz 250MHz Huawei	80	5012	A80D06 Huawei	0.6	305	46

### 7.4 Inne źródła pól elektromagnetycznych

Na podstawie informacji otrzymanych od użytkownika oraz obserwacji otoczenia miejsca wykonywania pomiarów nie stwierdzono występowania innych źródeł pola-EM

Sprawozdanie z badań bez pisemnej zgody laboratorium nie może być powielane inaczej niż w całości.  
Wynik przedstawione w niniejszym sprawozdaniu odnoszą się wyłącznie do badanego obiektu i do warunków i konfiguracji urządzeń w dniu wykonywania pomiarów.

8. Opis pomiarów

8.1. Metoda badań

Zgodna z rozporządzeniem Ministra Klimatu z dnia 17 lutego 2020 r. w sprawie sposobów sprawdzania dotrzymania dopuszczalnych poziomów pól elektromagnetycznych w środowisku (Dz.U. 2022 poz. 2630), określona w pkt 25 ppkt 1 załącznika do niniejszego rozporządzenia.

8.2. Termin pomiarów i warunki środowiskowe

Podczas wykonywania pomiarów pól elektromagnetycznych nie występowały opady atmosferyczne. Wyniki pomiaru parametrów pogodowych przedstawia poniższa tabela:

Data [rrrr-mm-dd]	Godzina [hh:mm-hh:mm]	Warunki środowiskowe			
		Temperatura [°C]		Wilgotność względna [%]	
		Przed pomiarem	Po pomiarach	Przed pomiarem	Po pomiarach
2025-05-07	16:40-18:00	9.5	9.1	65.9	66.7

Przedstawione wyżej warunki środowiskowe, występujące podczas wykonywania pomiarów pól elektromagnetycznych, są zgodne ze specyfikacją techniczną użytego zestawu pomiarowego.

8.3. Warunki pracy urządzeń nadawczych

Podczas pomiarów w przypadku uzyskania wyniku pomiaru szerokopasmowego wykonanego zastosowaną metodą, dla zakresów częstotliwości od 10 MHz do 300 GHz, powiększonego o rozszerzoną niepewność pomiaru U dla współczynnika rozszerzenia  $k = 2$  przekraczającego 70% najniższej dopuszczalnej wartości składowej elektrycznej lub magnetycznej pola dla objętych pomiarami zakresów częstotliwości, uwzględnia się poprawki pomiarowe przekazane przez zleceniodawcę, umożliwiające uwzględnienie maksymalnych parametrów pracy instalacji zgodnie z pkt 7 załącznika do Rozporządzeniem Ministra Klimatu z dnia 17 lutego 2020 r. w sprawie sposobów sprawdzania dotrzymania dopuszczalnych poziomów pól elektromagnetycznych w środowisku (Dz. U. 2022, poz. 2630) zaznaczając, że wymagane jest wykonanie pomiaru z wykorzystaniem miernika selektywnego. W przypadku uzyskania wyniku pomiaru szerokopasmowego wykonanego zastosowaną metodą, dla zakresów częstotliwości od 10 MHz do 300 GHz, powiększonego o rozszerzoną niepewność pomiaru U dla współczynnika rozszerzenia  $k = 2$  nieprzekraczającego 70% najniższej dopuszczalnej wartości składowej elektrycznej lub magnetycznej pola dla objętych pomiarami zakresów częstotliwości, nie uwzględnia się poprawek pomiarowych.

8.4. Wyposażenie pomiarowe

Zestaw pomiarowy służący do pomiaru natężenia składowej elektrycznej pola elektromagnetycznego złożony z szerokopasmowego miernika i sondy pomiarowej:

Oznaczenie miernika	Producent	Model	Numer fabryczny	Oznaczenie sondy	Producent	Model	Numer fabryczny
MF-01	Narda Safety Test Solution	Miernik pól elektromagnetycznych Narda FieldMan	B-0119	SF-01	Narda Safety Test Solution	Sonda EFD-6091	A-0067

Mierniki natężenia pola elektromagnetycznego podlegają okresowemu sprawdzeniu zgodnie z procedurą wewnętrzną P-03 i PB-01. Świadectwo wzorcowania zestawu pomiarowego z dnia 6 grudnia 2023 o numerze LWiMP/W/463/23 wydane przez Politechnika Wrocławską.  
Data ważności świadectwa wzorcowania: 6 grudnia 2025 (zgodnie z procedurą wewnętrzną P-03).

Oznaczenie miernika	Producent	Model	Numer fabryczny	Oznaczenie sondy	Producent	Model	Numer fabryczny
MF-01	Narda Safety Test Solution	Miernik pól elektromagnetycznych Narda FieldMan	B-0119	SF-02	Narda Safety Test Solution	Sonda EFD-0691	A-0151

Mierniki natężenia pola elektromagnetycznego podlegają okresowemu sprawdzeniu zgodnie z procedurą wewnętrzną P-03 i PB-01. Świadectwo wzorcowania zestawu pomiarowego z dnia 13 września 2024 o numerze LWiMP/W/319/24 wydane przez Politechnika Wrocławską.  
Data ważności świadectwa wzorcowania: 13 września 2026 (zgodnie z procedurą wewnętrzną P-03).

Sprawozdanie z badań bez pisemnej zgody laboratorium nie może być powielane inaczej niż w całości.  
Wynik przedstawione w niniejszym sprawozdaniu odnoszą się wyłącznie do badanego obiektu i do warunków i konfiguracji urządzeń w dniu wykonywania pomiarów.

Termohigrometr:

Oznaczenie:	TH-07	Producent:	AZ INSTRUMENT CORP	Model:	Termohigrometr AZ8706
-------------	-------	------------	--------------------	--------	-----------------------

Data ważności świadectwa wzorcowania: 7 stycznia 2028 (zgodnie z procedurą wewnętrzną P-03).

Dalmierz:

Oznaczenie	Producent	Typ	Numer seryjny	Nr świadectwa wzorcowania	Data świadectwa wzorcowania
D-04	Leica	Dalmierz Leica Disto X310	843810404	Z3- Z32.4180.34.2025.826.4	1 kwietnia 2025

Data ważności świadectwa wzorcowania: 1 kwietnia 2035 (zgodnie z procedurą wewnętrzną P-03).

Odbiornik GNSS:

Odbiornik GNSS wbudowany w miernik natężenia pola elektromagnetycznego użyty podczas pomiarów	Producent	Model
	UBlox	NEO-M8T

Odbiorniki podlegają okresowemu sprawdzeniu zgodnie z procedurą wewnętrzną P-03.

9. Wyniki pomiarów

Pole elektryczne

Nr pionu	Opis umiejscowienia pionu (punktu) pomiarowego	Wysokość pomiaru [m]	Zmierzona wartość natężenia pola elektrycznego E [V/m] <sup>1,5</sup>			Wartość natężenia pola elektrycznego powiększona o niepewność pomiaru <sup>4</sup> E [V/m]	Wskaźnikowa wartość poziomu emisji pól elektromagnetycznych WME <sup>3</sup>	Współrzędne geograficzne pionu (punktu) pomiarowego <sup>2</sup>
			Sonda SF-01	Sonda SF-02	Wartość			
1	GKP w odległości poziomej 18m od anteny radioliniowej az. 38°	0.3-2.0	<1.0*	<1.0*	<1.0*	1.3	0.05	53°38'5.3" 21°31'54.5"
2	GKP w odległości poziomej 66m od anteny radioliniowej az. 38°	0.3-2.0	<1.0*	<1.0*	<1.0*	1.3	0.05	53°38'6.4" 21°31'56.3"
3	GKP w odległości poziomej 17m od anteny sektorowej az. 60°	0.3-2.0	<1.0*	<1.0*	<1.0*	1.3	0.05	53°38'4.9" 21°31'54.8"
4	GKP w odległości poziomej 54m od anteny sektorowej az. 60°	0.3-2.0	<1.0*	<1.0*	<1.0*	1.3	0.05	53°38'5.6" 21°31'56.3"
5	GKP w odległości poziomej 112m od anteny sektorowej az. 60°	0.3-2.0	<1.0*	<1.0*	<1.0*	1.3	0.05	53°38'6.4" 21°31'59.2"
6	GKP w odległości poziomej 46m od anteny radioliniowej az. 184°	0.3-2.0	<1.0*	<1.0*	<1.0*	1.3	0.05	53°38'3.1" 21°31'53.8"
7	GKP w odległości poziomej 83m od anteny radioliniowej az. 184°	0.3-2.0	<1.0*	<1.0*	<1.0*	1.3	0.05	53°38'2.0" 21°31'53.4"
8	GKP w odległości poziomej 43m od anteny sektorowej az. 190°	0.3-2.0	<1.0*	<1.0*	<1.0*	1.3	0.05	53°38'3.5" 21°31'53.4"
9	GKP w odległości poziomej 67m od	0.3-2.0	<1.0*	<1.0*	<1.0*	1.3	0.05	53°38'2.4" 21°31'53.0"

Sprawozdanie z badań bez pisemnej zgody laboratorium nie może być powielane inaczej niż w całości.  
Wynik przedstawione w niniejszym sprawozdaniu odnoszą się wyłącznie do badanego obiektu i do warunków i konfiguracji urządzeń w dniu wykonywania pomiarów.

	anteny sektorowej az. 190°							
10	GKP w odległości poziomej 112m od anteny sektorowej az. 190°	0.3-2.0	<1.0*	<1.0*	<1.0*	1.3	0.05	53°38'1.0" 21°31'52.7"
11	GKP w odległości poziomej 9m od anteny sektorowej az. 300°	0.3-2.0	<1.0*	<1.0*	<1.0*	1.3	0.05	53°38'4.9" 21°31'53.4"
12	GKP w odległości poziomej 16m od anteny radioliniowej az. 305°	0.3-2.0	<1.0*	<1.0*	<1.0*	1.3	0.05	53°38'4.9" 21°31'53.0"
—	PKP na az. 12° w odległości poziomej 93m od anteny radioliniowej az. 38°	0.3-2.0	<1.0*	<1.0*	<1.0*	1.3	0.05	53°38'7.8" 21°31'54.8"
14	PKP na az. 83° w odległości poziomej 101m od anteny sektorowej az. 60°	0.3-2.0	<1.0*	<1.0*	<1.0*	1.3	0.05	53°38'4.9" 21°31'59.5"
15	PKP na az. 123° w odległości poziomej 110m od anteny radioliniowej az. 38°	0.3-2.0	<1.0*	<1.0*	<1.0*	1.3	0.05	53°38'2.8" 21°31'58.8"
—	PKP na az. 232° w odległości poziomej 110m od anteny radioliniowej az. 184°	0.3-2.0	<1.0*	<1.0*	<1.0*	1.3	0.05	53°38'2.4" 21°31'49.1"
—	PKP na az. 263° w odległości poziomej 90m od anteny radioliniowej az. 184°	0.3-2.0	<1.0*	<1.0*	<1.0*	1.3	0.05	53°38'4.2" 21°31'48.7"
18	PKP na az. 25° w odległości poziomej 55m od anteny sektorowej az. 60°	0.3-2.0	<1.0*	<1.0*	<1.0*	1.3	0.05	53°38'6.4" 21°31'55.2"
19	PKP na az. 40° w odległości poziomej 55m od anteny sektorowej az. 60°	0.3-2.0	<1.0*	<1.0*	<1.0*	1.3	0.05	53°38'6.0" 21°31'55.9"
20	PKP na az. 53° w odległości poziomej 56m od anteny sektorowej az. 60°	0.3-2.0	<1.0*	<1.0*	<1.0*	1.3	0.05	53°38'6.0" 21°31'56.3"
21	PKP na az. 67° w odległości poziomej 58m od anteny sektorowej az. 60°	0.3-2.0	<1.0*	<1.0*	<1.0*	1.3	0.05	53°38'5.6" 21°31'56.6"
22	PKP na az. 80° w odległości poziomej 58m od anteny	0.3-2.0	<1.0*	<1.0*	<1.0*	1.3	0.05	53°38'5.3" 21°31'57.0"

Sprawozdanie z badań bez pisemnej zgody laboratorium nie może być powielane inaczej niż w całości.  
Wynik przedstawione w niniejszym sprawozdaniu odnoszą się wyłącznie do badanego obiektu i do warunków i konfiguracji urządzeń w dniu wykonywania pomiarów.

	sektorowej az. 60°							
23	PKP na az. 95° w odległości poziomej 62m od anteny sektorowej az. 60°	0.3-2.0	<1.0*	<1.0*	<1.0*	1.3	0.05	53°38'4.6" 21°31'57.4"
—	PKP na az. 155° w odległości poziomej 155m od anteny sektorowej az. 190°	0.3-2.0	<1.0*	<1.0*	<1.0*	1.3	0.05	53°38'0.2" 21°31'57.4"
—	PKP na az. 170° w odległości poziomej 128m od anteny sektorowej az. 190°	0.3-2.0	<1.0*	<1.0*	<1.0*	1.3	0.05	53°38'0.6" 21°31'54.8"
26	PKP na az. 183° w odległości poziomej 56m od anteny sektorowej az. 190°	0.3-2.0	<1.0*	<1.0*	<1.0*	1.3	0.05	53°38'2.8" 21°31'53.8"
27	PKP na az. 197° w odległości poziomej 56m od anteny sektorowej az. 190°	0.3-2.0	<1.0*	<1.0*	<1.0*	1.3	0.05	53°38'3.1" 21°31'52.7"
28	PKP na az. 210° w odległości poziomej 56m od anteny sektorowej az. 190°	0.3-2.0	<1.0*	<1.0*	<1.0*	1.3	0.05	53°38'3.1" 21°31'52.3"
29	PKP na az. 225° w odległości poziomej 55m od anteny sektorowej az. 190°	0.3-2.0	<1.0*	<1.0*	<1.0*	1.3	0.05	53°38'3.5" 21°31'51.6"
—	PKP na az. 265° w odległości poziomej 78m od anteny sektorowej az. 300°	0.3-2.0	<1.0*	<1.0*	<1.0*	1.3	0.05	53°38'4.6" 21°31'49.4"
31	PKP na az. 280° w odległości poziomej 17m od anteny sektorowej az. 300°	0.3-2.0	<1.0*	<1.0*	<1.0*	1.3	0.05	53°38'4.9" 21°31'53.0"
—	PKP na az. 280° w odległości poziomej 167m od anteny sektorowej az. 300°	0.3-2.0	<1.0*	<1.0*	<1.0*	1.3	0.05	53°38'5.6" 21°31'44.8"
—	PKP na az. 293° w odległości poziomej 194m od anteny sektorowej az. 300°	0.3-2.0	<1.0*	<1.0*	<1.0*	1.3	0.05	53°38'7.1" 21°31'44.0"
—	PKP na az. 307° w odległości poziomej 173m od anteny sektorowej az. 300°	0.3-2.0	<1.0*	<1.0*	<1.0*	1.3	0.05	53°38'8.2" 21°31'46.2"
35	PKP na az. 321° w odległości poziomej 67m od	0.3-2.0	<1.0*	<1.0*	<1.0*	1.3	0.05	53°38'6.4" 21°31'51.6"

Sprawozdanie z badań bez pisemnej zgody laboratorium nie może być powielane inaczej niż w całości.  
Wynik przedstawione w niniejszym sprawozdaniu odnoszą się wyłącznie do badanego obiektu i do warunków i konfiguracji urządzeń w dniu wykonywania pomiarów.

	anteny sektorowej az. 300°							
36	PKP na az. 336° w odległości poziomej 54m od anteny sektorowej az. 300°	0.3-2.0	<1.0*	<1.0*	<1.0*	1.3	0.05	53°38'6.4" 21°31'52.7"
—	GKP w odległości poziomej 1328m od anteny sektorowej az. 190°	0.3-2.0	<1.0*	<1.0*	<1.0*	1.3	0.05	53°37'22.4" 21°31'41.5"
—	GKP w odległości poziomej 399m od anteny sektorowej az. 300°	0.3-2.0	<1.0*	<1.0*	<1.0*	1.3	0.05	53°38'11.4" 21°31'35.0"
—	GKP w odległości poziomej 402m od anteny sektorowej az. 60°	2.0	1.4	1.4	1.4	1.8	0.07	53°38'11.4" 21°32'12.8"

Pole magnetyczne (wyznaczone na podstawie pomiaru wartości natężenia pola elektrycznego)

Nr pionu	Opis umiejscowienia pionu (punktu) pomiarowego	Wysokość pomiaru [m]	Wartość natężenia pola magnetycznego H [A/m] <sup>1</sup>			Wartość natężenia pola magnetycznego powiększona o niepewność pomiaru <sup>4</sup> H [A/m]	Wskaźnikowa wartość poziomu emisji pól elektromagnetycznych WM <sub>H</sub> <sup>3</sup>	Współrzędne geograficzne pionu (punktu) pomiarowego <sup>2</sup>
			Sonda SF-01	Sonda SF-02	Wartość			
1	GKP w odległości poziomej 18m od anteny radioliniowej az. 38°	0.3-2.0	<0.003*	<0.003*	<0.003*	0.003	0.05	53°38'5.3" 21°31'54.5"
2	GKP w odległości poziomej 66m od anteny radioliniowej az. 38°	0.3-2.0	<0.003*	<0.003*	<0.003*	0.003	0.05	53°38'6.4" 21°31'56.3"
3	GKP w odległości poziomej 17m od anteny sektorowej az. 60°	0.3-2.0	<0.003*	<0.003*	<0.003*	0.003	0.05	53°38'4.9" 21°31'54.8"
4	GKP w odległości poziomej 54m od anteny sektorowej az. 60°	0.3-2.0	<0.003*	<0.003*	<0.003*	0.003	0.05	53°38'5.6" 21°31'56.3"
5	GKP w odległości poziomej 112m od anteny sektorowej az. 60°	0.3-2.0	<0.003*	<0.003*	<0.003*	0.003	0.05	53°38'6.4" 21°31'59.2"
6	GKP w odległości poziomej 46m od anteny radioliniowej az. 184°	0.3-2.0	<0.003*	<0.003*	<0.003*	0.003	0.05	53°38'3.1" 21°31'53.8"
7	GKP w odległości poziomej 83m od anteny radioliniowej az. 184°	0.3-2.0	<0.003*	<0.003*	<0.003*	0.003	0.05	53°38'2.0" 21°31'53.4"

Sprawozdanie z badań bez pisemnej zgody laboratorium nie może być powielane inaczej niż w całości.  
Wynik przedstawione w niniejszym sprawozdaniu odnoszą się wyłącznie do badanego obiektu i do warunków i konfiguracji urządzeń w dniu wykonywania pomiarów.



8	GKP w odległości poziomej 43m od anteny sektorowej az. 190°	0.3-2.0	<0.003*	<0.003*	<0.003*	0.003	0.05	53°38'3.5" 21°31'53.4"
9	GKP w odległości poziomej 67m od anteny sektorowej az. 190°	0.3-2.0	<0.003*	<0.003*	<0.003*	0.003	0.05	53°38'2.4" 21°31'53.0"
10	GKP w odległości poziomej 112m od anteny sektorowej az. 190°	0.3-2.0	<0.003*	<0.003*	<0.003*	0.003	0.05	53°38'1.0" 21°31'52.7"
11	GKP w odległości poziomej 9m od anteny sektorowej az. 300°	0.3-2.0	<0.003*	<0.003*	<0.003*	0.003	0.05	53°38'4.9" 21°31'53.4"
12	GKP w odległości poziomej 16m od anteny radioliniowej az. 305°	0.3-2.0	<0.003*	<0.003*	<0.003*	0.003	0.05	53°38'4.9" 21°31'53.0"
—	PKP na az. 12° w odległości poziomej 93m od anteny radioliniowej az. 38°	0.3-2.0	<0.003*	<0.003*	<0.003*	0.003	0.05	53°38'7.8" 21°31'54.8"
14	PKP na az. 83° w odległości poziomej 101m od anteny sektorowej az. 60°	0.3-2.0	<0.003*	<0.003*	<0.003*	0.003	0.05	53°38'4.9" 21°31'59.5"
15	PKP na az. 123° w odległości poziomej 110m od anteny radioliniowej az. 38°	0.3-2.0	<0.003*	<0.003*	<0.003*	0.003	0.05	53°38'2.8" 21°31'58.8"
—	PKP na az. 232° w odległości poziomej 110m od anteny radioliniowej az. 184°	0.3-2.0	<0.003*	<0.003*	<0.003*	0.003	0.05	53°38'2.4" 21°31'49.1"
—	PKP na az. 263° w odległości poziomej 90m od anteny radioliniowej az. 184°	0.3-2.0	<0.003*	<0.003*	<0.003*	0.003	0.05	53°38'4.2" 21°31'48.7"
18	PKP na az. 25° w odległości poziomej 55m od anteny sektorowej az. 60°	0.3-2.0	<0.003*	<0.003*	<0.003*	0.003	0.05	53°38'6.4" 21°31'55.2"
19	PKP na az. 40° w odległości poziomej 55m od anteny sektorowej az. 60°	0.3-2.0	<0.003*	<0.003*	<0.003*	0.003	0.05	53°38'6.0" 21°31'55.9"
20	PKP na az. 53° w odległości	0.3-2.0	<0.003*	<0.003*	<0.003*	0.003	0.05	53°38'6.0" 21°31'56.3"

Sprawozdanie z badań bez pisemnej zgody laboratorium nie może być powielane inaczej niż w całości.  
Wynik przedstawione w niniejszym sprawozdaniu odnoszą się wyłącznie do badanego obiektu i do warunków i konfiguracji urządzeń w dniu wykonywania pomiarów.

	poziomej 56m od anteny sektorowej az. 60°							
21	PKP na az. 67° w odległości poziomej 58m od anteny sektorowej az. 60°	0.3-2.0	<0.003*	<0.003*	<0.003*	0.003	0.05	53°38'5.6" 21°31'56.6"
22	PKP na az. 80° w odległości poziomej 58m od anteny sektorowej az. 60°	0.3-2.0	<0.003*	<0.003*	<0.003*	0.003	0.05	53°38'5.3" 21°31'57.0"
23	PKP na az. 95° w odległości poziomej 62m od anteny sektorowej az. 60°	0.3-2.0	<0.003*	<0.003*	<0.003*	0.003	0.05	53°38'4.6" 21°31'57.4"
—	PKP na az. 155° w odległości poziomej 155m od anteny sektorowej az. 190°	0.3-2.0	<0.003*	<0.003*	<0.003*	0.003	0.05	53°38'0.2" 21°31'57.4"
—	PKP na az. 170° w odległości poziomej 128m od anteny sektorowej az. 190°	0.3-2.0	<0.003*	<0.003*	<0.003*	0.003	0.05	53°38'0.6" 21°31'54.8"
26	PKP na az. 183° w odległości poziomej 56m od anteny sektorowej az. 190°	0.3-2.0	<0.003*	<0.003*	<0.003*	0.003	0.05	53°38'2.8" 21°31'53.8"
27	PKP na az. 197° w odległości poziomej 56m od anteny sektorowej az. 190°	0.3-2.0	<0.003*	<0.003*	<0.003*	0.003	0.05	53°38'3.1" 21°31'52.7"
28	PKP na az. 210° w odległości poziomej 56m od anteny sektorowej az. 190°	0.3-2.0	<0.003*	<0.003*	<0.003*	0.003	0.05	53°38'3.1" 21°31'52.3"
29	PKP na az. 225° w odległości poziomej 55m od anteny sektorowej az. 190°	0.3-2.0	<0.003*	<0.003*	<0.003*	0.003	0.05	53°38'3.5" 21°31'51.6"
—	PKP na az. 265° w odległości poziomej 78m od anteny sektorowej az. 300°	0.3-2.0	<0.003*	<0.003*	<0.003*	0.003	0.05	53°38'4.6" 21°31'49.4"
31	PKP na az. 280° w odległości poziomej 17m od anteny sektorowej az. 300°	0.3-2.0	<0.003*	<0.003*	<0.003*	0.003	0.05	53°38'4.9" 21°31'53.0"

Sprawozdanie z badań bez pisemnej zgody laboratorium nie może być powielane inaczej niż w całości.  
Wynik przedstawione w niniejszym sprawozdaniu odnoszą się wyłącznie do badanego obiektu i do warunków i konfiguracji urządzeń w dniu wykonywania pomiarów.

—	PKP na az. 280° w odległości poziomej 167m od anteny sektorowej az. 300°	0.3-2.0	<0.003*	<0.003*	<0.003*	0.003	0.05	53°38'5.6" 21°31'44.8"
—	PKP na az. 293° w odległości poziomej 194m od anteny sektorowej az. 300°	0.3-2.0	<0.003*	<0.003*	<0.003*	0.003	0.05	53°38'7.1" 21°31'44.0"
—	PKP na az. 307° w odległości poziomej 173m od anteny sektorowej az. 300°	0.3-2.0	<0.003*	<0.003*	<0.003*	0.003	0.05	53°38'8.2" 21°31'46.2"
35	PKP na az. 321° w odległości poziomej 67m od anteny sektorowej az. 300°	0.3-2.0	<0.003*	<0.003*	<0.003*	0.003	0.05	53°38'6.4" 21°31'51.6"
36	PKP na az. 336° w odległości poziomej 54m od anteny sektorowej az. 300°	0.3-2.0	<0.003*	<0.003*	<0.003*	0.003	0.05	53°38'6.4" 21°31'52.7"
—	GKP w odległości poziomej 1328m od anteny sektorowej az. 190°	0.3-2.0	<0.003*	<0.003*	<0.003*	0.003	0.05	53°37'22.4" 21°31'41.5"
—	GKP w odległości poziomej 399m od anteny sektorowej az. 300°	0.3-2.0	<0.003*	<0.003*	<0.003*	0.003	0.05	53°38'11.4" 21°31'35.0"
—	GKP w odległości poziomej 402m od anteny sektorowej az. 60°	2.0	<b>0.004</b>	<b>0.004</b>	0.004	0.005	0.07	53°38'11.4" 21°32'12.8"

GKP – Główny Kierunek Pomiarowy

PKP – Pomocniczy Kierunek Pomiarowy

<sup>1</sup> wyniki oznaczone \* są wynikami poniżej czułości zestawu pomiarowego i są wynikami spoza zakresu akredytacji. Do obliczenia wyniku skorygowanego przyjęto wartość skorelowaną z rzeczywistym wynikiem pomiaru - dolną granicę akredytowanego zakresu pomiarowego metody

<sup>2</sup> współrzędne geograficzne pozyskane metodą pomiaru bezpośredniego

<sup>3</sup> do wyznaczenia wartości wskaźnikowej  $WM_E$  i  $WM_H$  przyjęto na podstawie uzgodnień z klientem oraz rozpoznania źródeł, jako wartości dopuszczalne pola elektrycznego i magnetycznego odpowiednio 28 V/m i 0,073 A/m.

<sup>4</sup> do wyznaczenia niepewności dla wyników poniżej czułości zestawu pomiarowego, przyjęto niepewność dla minimalnej wartości z zakresu pomiarowego.

<sup>5</sup> maksymalna wartość chwilowa

Niepewność oszacowano zgodnie z dokumentem P-03 „Procedura nadzoru nad wyposażeniem” w postaci niepewności rozszerzonej wynikającej z niepewności standardowej pomnożonej przez współczynnik rozszerzenia  $k=2$ .

Całkowita szacowana niepewność rozszerzona składowej E wynosi odpowiednio:

sonda SF-01: 31.8% dla częstotliwości do 4 GHz, sonda SF-02: 27.4% dla częstotliwości do 4 GHz

Pomiar wykonany metodą 2 sond, opisaną w artykule Medycyna Pracy 2015;66(5):701–712 „Optymalizacja metodyki pomiaru wieloczęstotliwościowego pola elektromagnetycznego stacji bazowych telefonii komórkowej”.

Umiejscowienie pionów (punktów) pomiarowych przedstawiono w załączniku nr 2 do niniejszego sprawozdania.

Sprawozdanie z badań bez pisemnej zgody laboratorium nie może być powielane inaczej niż w całości.

Wynik przedstawione w niniejszym sprawozdaniu odnoszą się wyłącznie do badanego obiektu i do warunków i konfiguracji urządzeń w dniu wykonywania pomiarów.

## 10. Omówienie wyników pomiarów

W związku z tym, że żadna z wartości zmierzonych, udokumentowanych w tabelach w pkt. 9, uzyskanych w skutek zastosowania pomiaru szerokopasmowego, powiększonego o rozszerzoną niepewność pomiaru  $U$  dla współczynnika rozszerzenia  $k = 2$  nie przekroczyła 70% najniższej dopuszczalnej wartości składowej elektrycznej lub magnetycznej pola dla objętych pomiarami zakresów częstotliwości, nie uwzględnia się poprawek pomiarowych.

W wyniku zastosowania sposobu sprawdzenia dotrzymania dopuszczalnych poziomów pól elektromagnetycznych w środowisku, zgodnie pkt 25 ppkt 1 Rozporządzenia Ministra Klimatu z dnia 17 lutego 2020 r. (Dz. U. 2022, poz. 2630), w związku z tym, że żadna z wartości wskaźnikowych, udokumentowanych w tabelach w pkt. 9 nie przekracza wartości 1, stwierdza się, że w miejscach, w których wykonano pomiary w otoczeniu instalacji radiokomunikacyjnej 4586 (43542N!) NIDA (GEC\_RUCIANENI\_NIDA), dopuszczalne poziomy pól elektromagnetycznych w środowisku należy uznać za dotrzymane.

Miejsca niedostępne podczas wykonywania pomiarów wskazane zostały w pkt. 9 (Wyniki pomiarów) lub na załączniku przedstawiającym usytuowanie pionów pomiarowych.

## 11. Podstawa prawna

- 1) Ustawa z dnia 27 kwietnia 2001 r. Prawo ochrony środowiska (Dz.U. 2024 poz. 54 z późn. zm.)
- 2) Rozporządzenie Ministra Zdrowia z dnia 17 grudnia 2019 r. w sprawie dopuszczalnych poziomów pól elektromagnetycznych w środowisku (Dz. U. 2019, poz. 2448)
- 3) Rozporządzenie Ministra Klimatu z dnia 17 lutego 2020 r. w sprawie sposobów sprawdzania dotrzymania dopuszczalnych poziomów pól elektromagnetycznych w środowisku (Dz. U. 2022, poz. 2630),
- 4) Akredytacja nr AB 419 wydana przez Polskie Centrum Akredytacji (wydanie 22, z dnia 9 stycznia 2024 r.)

## 12. Spis załączników

Załącznik 1. Lokalizacja obiektu badań  
Załącznik 2. Usytuowanie pionów (punktów) pomiarowych  
Załącznik 3. Dokumentacja fotograficzna obiektu badań

## 13. Data wydania i autoryzowania sprawozdania

Obliczenia i sprawozdanie wykonał :

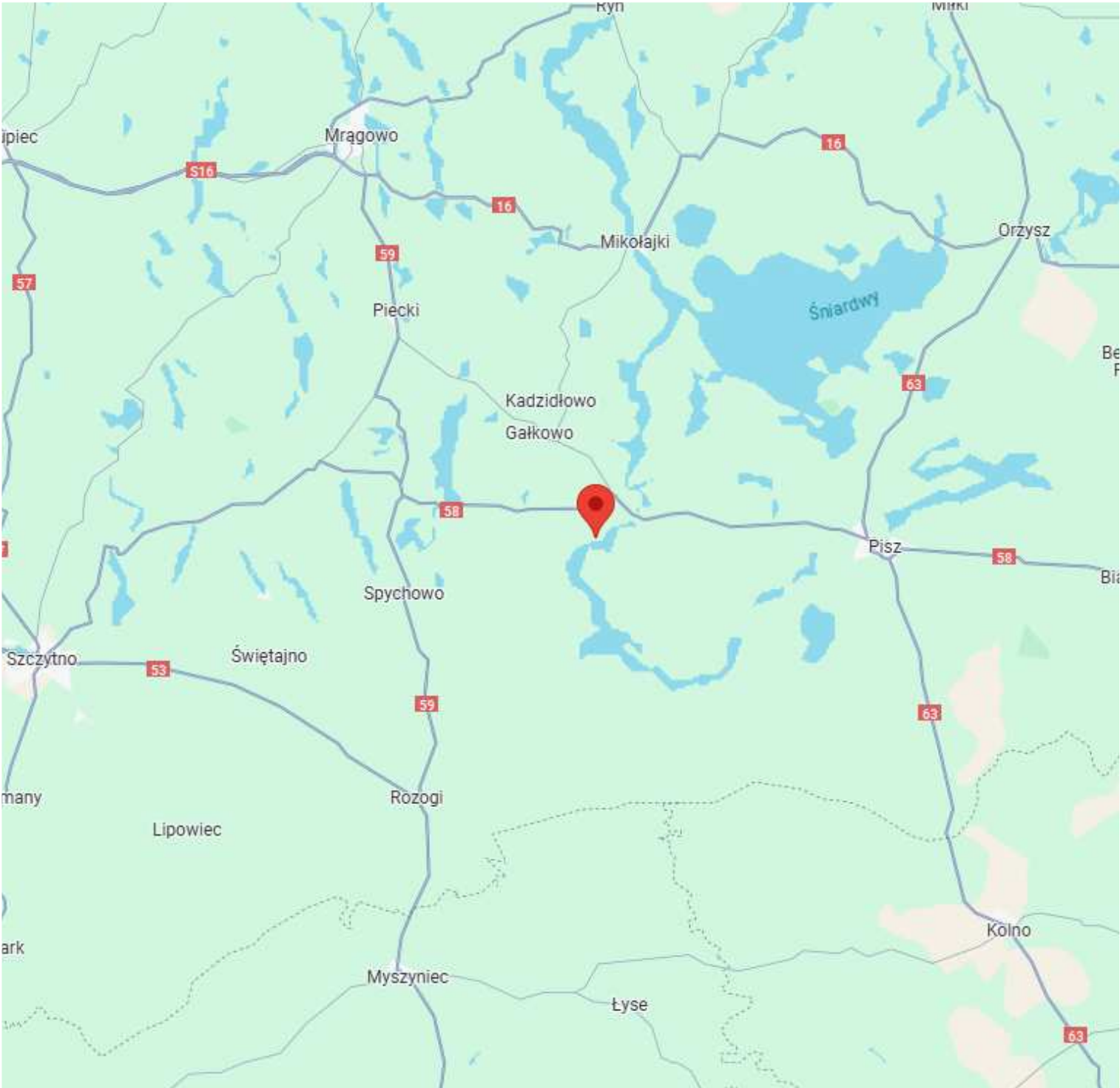
Sprawozdanie autoryzował:

\_\_\_\_\_

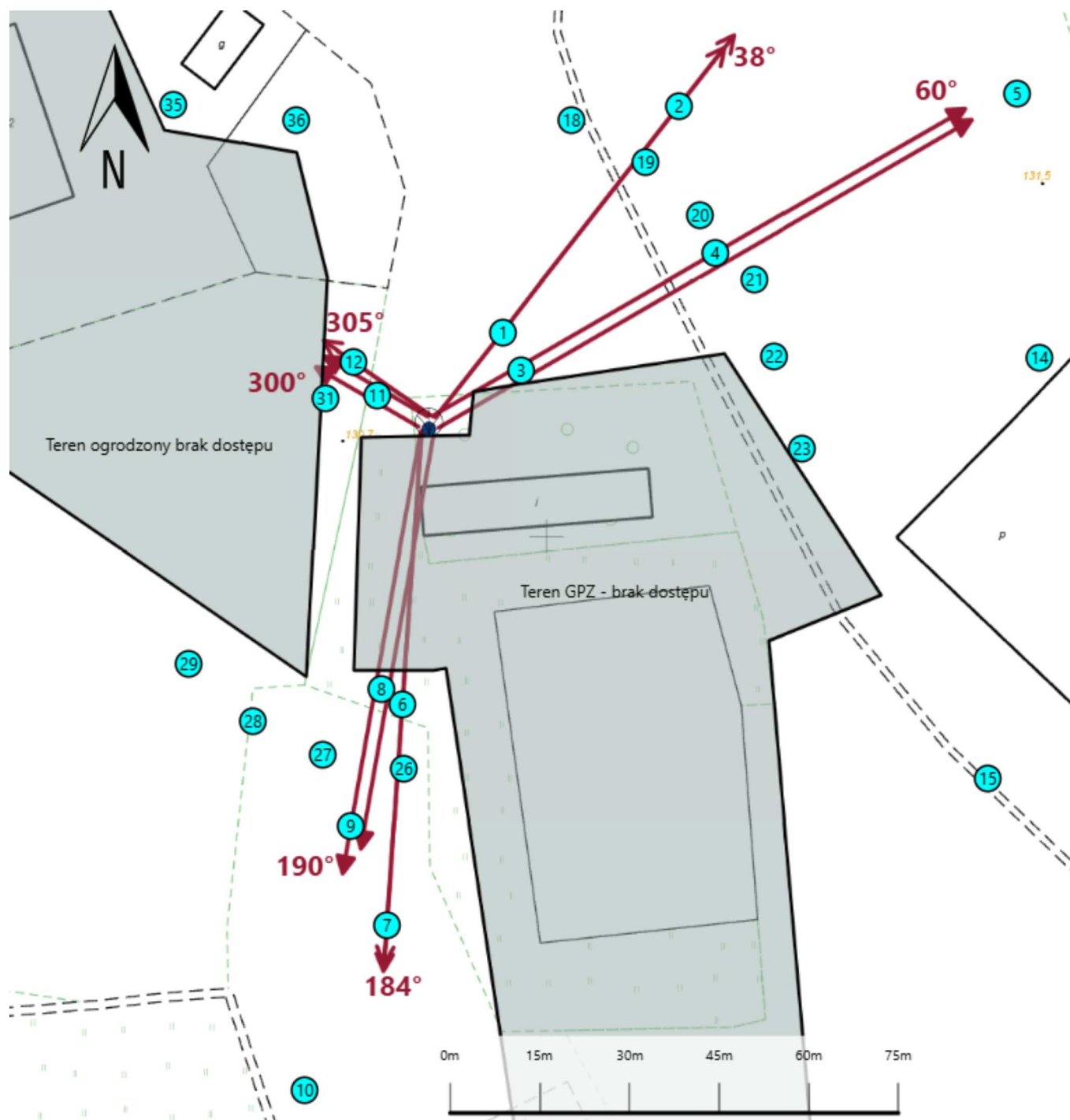
\_\_\_\_\_






**Koniec sprawozdania**

Sprawozdanie z badań bez pisemnej zgody laboratorium nie może być powielane inaczej niż w całości.  
Wynik przedstawione w niniejszym sprawozdaniu odnoszą się wyłącznie do badanego obiektu i do warunków i konfiguracji urządzeń w dniu wykonywania pomiarów.



Załącznik nr 1	Instalacja radiokomunikacyjna Orange Polska S.A. 4586 (43542N!) NIDA (GEC_RUCIANENI_NIDA) Lokalizacja instalacji
----------------	--



Załącznik nr 2	<p>Instalacja radiokomunikacyjna Orange Polska S.A. GEC_RUCIANENI_NIDA (43542N!)</p> <p>Usytuowanie pionów pomiarowych w otoczeniu instalacji radiokomunikacyjnej</p>
	<p>Legenda:</p> <div style="display: flex; justify-content: space-around; align-items: center;"> <div style="text-align: center;">  Źródło pola elektromagnetycznego         </div> <div style="text-align: center;">  Brak dostępu         </div> <div style="text-align: center;">  Pion pomiarowy         </div> <div style="text-align: center;">  Kierunek oddziaływania anten sektorowych         </div> <div style="text-align: center;">  Kierunek oddziaływania anten radioliniowych         </div> </div>





Załącznik nr 3

Instalacja radiokomunikacyjna Orange Polska S.A.  
4586 (43542N!) NIDA (GEC\_RUCIANENI\_NIDA)

Dokumentacja fotograficzna